

砕波帯における乱れ特性に関する研究

鳥取大学工学部 正員 野田英明
 大阪府 正員 ○赤松巧一
 鳥取大学大学院 学生員 関根聡一

1. はじめに

現地レベルで砕波による乱れを視覚的に見ることは非常に困難である。そこで本研究は室内実験によって、初歩的な解析も含め、基礎的な砕波の乱れ特性を明確にしようとするものである。

2. 乱れの定義および基礎式

実測水粒子速度 u からアンサンブル平均値

\tilde{u} が算定されれば、乱れ u' は次式で定義される。すなわち、

$$u' = u - \tilde{u} \quad (1)$$

ここに上付きの“ \sim ”および“ $'$ ”はそれぞれ、波動成分および乱れ成分を表している。さらに、砕波帯の乱れ特性として砕波後の波のエネルギー変化を調べるために、エネルギー逸散量を

$$-\Phi_e = \frac{\partial}{\partial x} \int_{-h}^{\zeta} u \left\{ \frac{\rho}{2} (u^2 - w^2) + \rho g \zeta \right\} dz \quad (2)$$

のように定義する。ここに ζ は水面変動である。この式は波の1周期平均かつ断面平均のエネルギー流束に対する x 方向 (波の進行方向) の変化率を表している。

3. 結果およびその考察

図-1, 図-2は水平方向水粒子速度の乱れ強度の時間平均値 $\sqrt{u'^2}$ の空間分布を示すものであって、それぞれ Case 1, 4 に対応し Battjes の surf similarity parameter ではそれぞれ崩れ波領域および巻き波領域の砕波となる。

図-1 では Plunging Point (以下 P.P. と略する) 付近の乱れ強度とほぼ同程度の乱れが、Breaking Point (以下 B.P. と略する) より沖側にも見られる (TYPE 1)。それに対して図-2 では P.P. 付近で乱れ強度は大きい、沖側ではあまり大きくない (TYPE 2)。おおよそ砕波形式の違いによってタイプが分かれるようであるが、Case 3の砕波形式は崩れ波であるにもかかわらず、TYPE 2に近い分布となっており、単純に砕波形式で分類できない。

Galvin¹⁾ の Breaker type index B : とレイノルズ数 R : をパラメータとし、各ケースの渦の発生条件

表-1 実験条件

	case 1	case 2	case 3	case 4	case 5	case 6
$\tan \alpha$	1/15					
h (cm)	40					
T (sec)	1.1	1.1	1.21	1.85	1.3	1.2
H (cm)	7.5	8.3	7.43	5.5	8.42	6.0
L (cm)	170	170	195.8	337	217	193.5
h_0 (cm)	8.14	9.01	8.13	5.17	7.03	6.51
L_0 (cm)	188.8	188.8	228.4	533.9	283.6	224.6
H_0/L_0	0.043	0.048	0.044	0.015	0.027	0.029
h_b (cm)	11.2	12.13	10.6	14.7	8.95	8.0
H_b (cm)	9.55	10.10	8.47	7.65	8.44	7.96
X_b (cm)	168	182	159	220	134.3	120
砕波形式	Spilling Breaker	Spilling Breaker	Spilling Breaker	Plunging Breaker	Sp-Plung Breaker	Sp-Plung Breaker

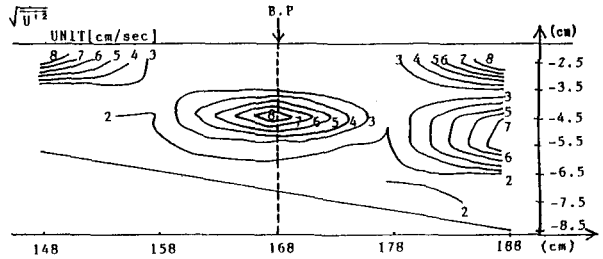


図-1 水平方向乱れ強度の空間分布 (Case 1)

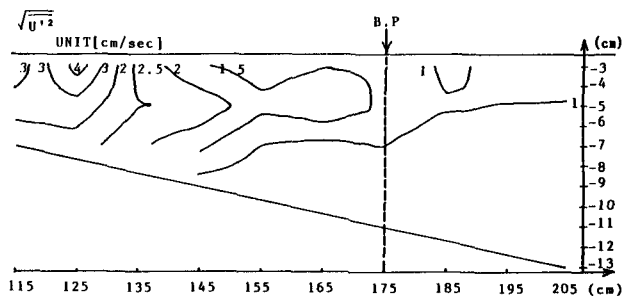


図-2 水平方向乱れ強度の空間分布 (Case 4)

